Matos K.S<sup>1</sup>, Hanada R.E.<sup>1</sup>, Silva G.F.<sup>2</sup>

<sup>1</sup>Instituto Nacional de Pesquisas da Amazônia, Laboratório de Fitopatologia, 69080-971, Manaus, AM, Brasil. <sup>2</sup>Embrapa Amazônia Ocidental, Laboratório de Biologia Molecular, 69010-970, Manaus, AM, Brasil. E-mail: gilvan.silva@embrapa.br

#### Resumo

Fusarium decemcellulare é encontrado como agente causal de doenças com diferentes sintomas em diversas espécies de plantas em regiões tropicais e subtropicais. Em guaranazeiro, espécie nativa da Amazônia de importância econômica e social, a doença denominada de complexo superbrotamento é atualmente um dos principais problemas da cultura. Técnicas moleculares são cada vez mais requeridas para identificação rápida e segura de patógenos como complemento as técnicas convencionais. O objetivo do trabalho foi desenvolver métodos moleculares por PCR e PCR-RFLP para rápida identificação de F. decemcellulare. O desenvolvimento do método baseado em PCR-RFLP foi realizado com base em 42 sequências do rDNA (18S, ITS1,ITS2, 5.8S e 28S) de 26 espécies do gênero Fusarium e identificado perfil de clivagem específico para Fdc com a enzima HaeIII. O diagnóstico baseado em PCR foi feito com base em sequências do gene lys2 de 26 espécies do gênero Fusarium foram analisadas e primers específicos foram desenvolvidos para Fdc, denominados de Fdc Lys2 399F e Fdc Lys2 R, e Fdc Lys2 654F e Fdc Lys2 832R. Ambos os métodos mostraram-se eficientes para diagnóstico de Fusarium decemcellulare.

Palavras-chave: superbrotamento, hiperplasia floral, galhas, *Paullinia cupana*, marcador molecular.

### Introdução

Fusarium decemcellulare Brick (teleomorfo Albonectia rigidiuscula) é encontrado como agente causal de doenças em mais de 80 espécies de plantas em

251

regiões tropicais e subtropicais (Farr e Rossman, 2016). No Brasil, culturas economicamente importantes como mangueira, cacaueiro, seringueira e guaranazeiro são afetadas pelo patógeno. Em guaranazeiro (*Paullinia cupana* var. *sorbilis* (Mart.), espécie nativa de importância econômica e social da Amazônia, a doença é caracterizada por diferentes sintomas, como hiperplasia floral, superbrotamento das gemas vegetativas e galhas no caule. A doença denominada de complexo superbrotamento é atualmente um dos principais problemas da cultura (Atroch, 2002).

A identificação de *F. decemcellulare* (Fdc) é comumente realizada por caracteres morfológicos, em que muitas vezes pode ser complicada e demorada, devido à plasticidade das caraterísticas morfológicas e das condições a serem testadas. O uso de técnicas moleculares é cada vez mais requerido para identificação rápida e segura de patógenos. Nas últimas décadas várias técnicas e marcadores moleculares têm sido desenvolvidos contribuindo para a identificação e diferenciação de espécies em *Fusarium*, dentre eles PCR-RFLP (*Polimerase Chain Reaction - Restriction Fragment Length Polymorphism*) baseada em padrões de restrição com o uso de enzimas selecionadas com base em sua habilidade de revelar polimorfismo nos fragmentos de DNA analisado (Lee et al., 2000; Bogale et al., 2007) e o gene *lys2 Aminoadipato redutase*, específico em fungos e importante para a biossíntese da lisina foi indicado como um possível marcador genético para identificação de isolados do gênero *Fusarium* (Watanabe et al., 2011a; 2011b).

O objetivo do trabalho foi desenvolver métodos moleculares baseados em ITS PCR-RFPL e via amplificação do gene *lys2* para rápida identificação de *Fusarium decencellulare*.

## Material e métodos

A presente pesquisa foi realiza no Laboratório de Biologia Molecular na Embrapa Amazônia Ocidental em Manaus, AM.

O desenvolvimento da técnica baseada em PCR-RFLP foi realizada com base em 42 sequências do rDNA (18S, ITS1,ITS2, 5.8S e 28S) de 26 espécies do gênero Fusarium obtidas no banco de dados do NCBI (National Center for Biotechnology Information): F. acuminatum, F. armeniacum, F. asiaticum, F. avenaceum, F. culmorum, F. decemcellulare, F. dimerum, F. dimerum var. violaceum, F. equiseti, F. incarnatum, F. kyushuense, F. langsethiae, F. lateritium, F. nurragi, F. oxysporum f. sp. rapae, F. poae, F. phyllophilum, F. solani, F. solani f.

sp. mori, F. sporotrichioides, F. subglutinans, F. tricinctum, Gibberella moniliformis, G. intermedia e G. zeae. O alinhamento das sequências foi realizado usando o programa MUSCLE e sítios de restrição foram identificados usando a ferramenta Search (Find motif) no programa MEGA 6.0 (Tamura et al., 2013). O método foi validado usando isolados monospóricos previamente identificados como F. decemcellulare de guaranazeiro e como controle Fusarium solani f. sp. piperis e Fusarium oxysporum f. sp. cubense. O DNA dos isolados foi extraído usando o método CTAB de Doyle e Doyle (1987). A amplificação foi realizada usando os primers ITS5 (White et al., 1990) e NL4 (O'Donnell, 1993) com posterior clivagem com a enzima HaeIII (sítio de restrição GGCC) a 37 °C por 3 horas. O produto da PCR foi visualizado em gel de agarose a 2%.

Primers específicos para o Fdc com base no gene lys2 foi realizado com base em 40 sequências de 26 espécies do gênero Fusarium (mesmas espécies da metodologia anterior), incluindo duas sequências de F. decemcellulare utilizadas por Watanabe et al., (2011b) (AB586966 e AB586967) foram obtidas no banco de dados do NCBI e alinhadas no programa MEGA 6.0. Por meio da análise da homologia das sequências e da presença de dois íntrons encontrados somente nas sequências de F. decemcellulare, pares de primers específicos foram desenvolvidos para a amplificação da região Fdc 399F (5'conservada do lys2 denominados de lys2 gene GTGCAGCTTCTTGTCATTG-3') e Fdc lys2 639R (5'-TCTCGCTCCTAAAGGCC GTATAC-3'), e Fdc lys2 654F (5'-CATCAGTGGCTAACAGACA G-3') e Fdc lys2 832R (5'-GCTGTCAATATCATTGAGCTC-3') (Figura 1).

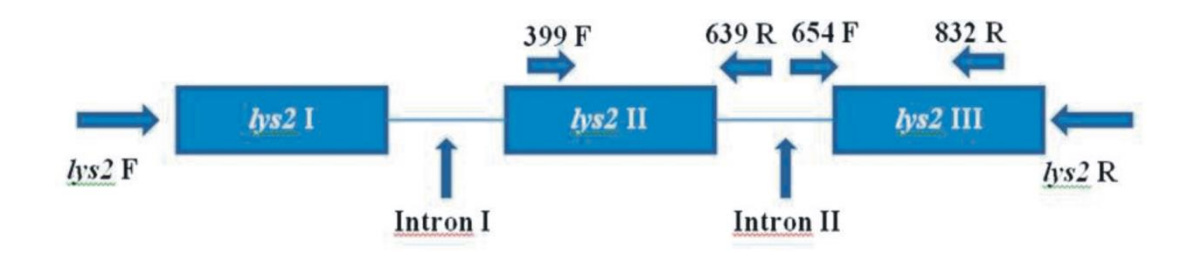


Figura 1 Esquema estrutural (éxons e íntrons) da região conservada do gene *lys*2 em *F. decemcellulare. Primers* (F - forward e R - reverse) foram desenvolvidos a partir do íntron II localizado apenas em *F. decemcellulare*.

A reação da PCR foi realizada com um volume final de 25 μl contendo 1μL de DNA de *F. decemcellulare*, 1μL de cada *primer*, 2,5 μL de tampão, 1,0 μL de dNTPs, 1,5 μL de MgCl<sub>2</sub> e 0,2 μL de Taq DNA. Na amplificação, a desnaturação inicial foi de 94 °C por 3 minutos, seguida por 35 ciclos de 94 °C por 30 segundos, temperatura de anelamento de 60 °C por 30 segundos, 72 °C por 30 segundos e extensão final de 72 °C por 1 minuto. O produto da PCR foi visualizado em gel de agarose a 2%.

### Resultados e discussão

Nas análises de polimorfismo, a perda do primeiro sítio de restrição localizado na região ITS 1 ocorreu devido a inserção de cinco nucleotídeos (GCTCG) entre as duas citosinas (Figura 2) que gerou um fragmento de restrição ~500pb em *F. decemcellulare* (*A. rigidiuscula* e *Albonectria albosuccinea*) e fragmentos menores nas outras espécies de *Fusarium* que possuem pelo menos cinco sítios de restrição (Figura 3).



Figura 2 Alinhamento das sequencias da região rDNA (18S, ITS1,ITS2, 5.8S e 28S) das espécies do gênero *Fusarium*. Na região ITS 1 ocorre a inserção de cinco nucleotídeos (GCTCG) entre duas citosinas (seta) em *Fusarium decemcellulare* (fase sexuada: *Albonectria rigidiuscula* e *A. albosuccineum*.

A digestão do produto ITS com diferentes enzimas de restrição revelou perfis diferentes entre *F. decemcellulare* e a espécie controle, possibilitando a diferenciação inter e intra-específica. Análise *in silico* com HaeIII permite diferenciar 24 das 26

espécies de *Fusarium* analisadas neste trabalho. O método de PCR-RFLP foi validado utilizando isolados de *F. decemcellulare* de guaranazeiro e como controle *F. oxysporum* f. sp. *cubense* e *F. solani* f. sp. *piperis* o que permitiu separar as espécies podendo ser observado o padrão de bandas geradas após clivagem com a enzima *HaeIII* em gel de agarose a 2% (Figura 3).

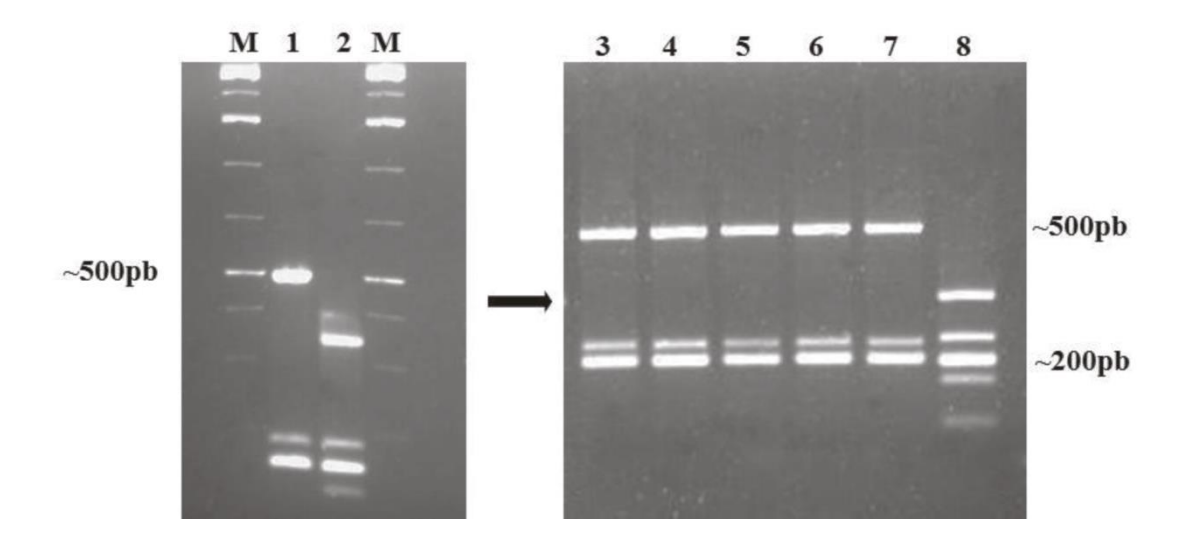


Figura 3 PCR-RFLP clivagem com a enzima *HaeIII* em gel de agarose (2%). M representa o marcador 1kb plus (invitrogen). Números 1, 3-7 representam isolados de *Fusarium decemcellulare*, 2 - *F. oxysporum* f. sp. *cubense* e 8 - *F. solani* f. sp. *piperis*.

As análises de PCR-RFLP baseiam em tamanho de fragmentos gerados por amostras de DNA após clivagem com enzimas de restrição e são comparadas entre número e tamanho de fragmentos que surgem após a digestão do DNA (Marques et al., 2002). As relações genéticas de 12 espécies de *Fusarium* foram investigadas utilizando a região ITS e PCR-RFLP com sete enzimas de restrição e cinco grupos foram observados de acordo com o polimorfismo observado entre as espécies analisadas (Lee et al., 2000). A técnica de PCR-RFLP proporcionou um diagnóstico simples e barato para a identificação de *Fusarium redolens* e membros de três clados de *F. oxysporum* (Bogale et al., 2007).

Validação do diagnóstico para Fdc baseado no gene *lys2* foi confirmado tanto em gel por meio da amplificação do fragmento do tamanho esperando (~260pb), quanto por meio do sequenciamento do amplicon. Das diferentes combinações de *primers* desenvolvidas neste trabalho os *primers* Fdc lys2 399F e 639R foram selecionados como os *primers* mais eficientes (Figura 4).

# M 1 2 3 4 5 6 7 8 9 10 11 12 13 14

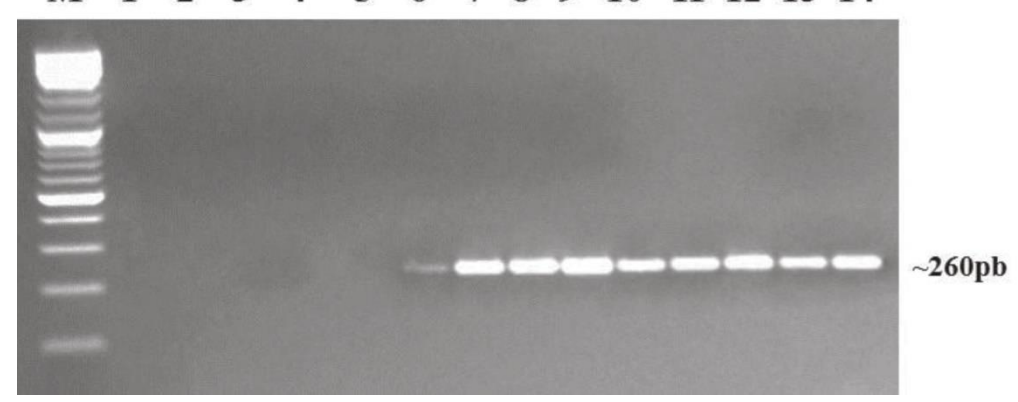


Figura 4 Identificação de *Fusarium decemcellulare* com base na amplificação do gene *lys*2 usando os *primers* Fdc 399R e Fdc 639R. M - representa o marcador 1kb plus (invitrogen). Números de 1 a 5 representam diferentes fungos filamententos isolados de guaranazeiro, e 6 a 14 representam isolados de *F. decemcellulare*.

O gene *lys2* é específico em fungos e está relacionado com a síntese da lisina. Resultados indicam que esse gene tenha sido submetido à seleção positiva dentro do gênero *Fusarium*. Estudo avaliou seis marcadores genéticos para identificar isolados de diferentes espécies do gênero *Fusarium* e o gene *lys2* apesar de não ser considerado um bom marcador para análise filogenética em *Fusarium*, devido a possível transferência horizontal (Watanabe et al., 2011a; 2011b), neste trabalho mostrou-se um interessante marcador para identificação de Fdc, devido a ocorrência de um íntron presente apenas nessa espécie.

As técnicas de diagnóstico molecular têm sido utilizadas na taxonomia de microrganismos e aplicadas também em programas de melhoramento genético. Elas permitem avaliar a variabilidade em nível de DNA e identificar diferenças entre isolados e espécies (Marques et al., 2002). O uso de ferramentas moleculares para a identificação de fungos apresenta diversas vantagens como, alta sensibilidade, especificidade e rapidez e pode ser um diagnóstico mais rápido do que por métodos convencionais. De acordo com os resultados obtidos nesse estudo os marcadores moleculares PCR-RFLP e gene *lys2* podem ser utilizados para diagnóstico rápido e seguro de *F. decemcellulare* como complemento a identificação convencional.

# Conclusão

Os métodos moleculares desenvolvidos no estudo, PCR-RFLP e amplificação da região correspondente ao íntron II do gene *lys2*, foram eficientes para a identificação de *Fusarium decencellulare*.

#### Referências

Atroch AL (2002) Aspectos gerais da cultura do guaraná. Foods and Food Ingredients. J Jpn 204:53-59.

Bogale M, Wingfield BD, Wingfield MJ, Steenkamp ET (2007) Species-specific primers for *Fusarium redolens* and a PCR-RFLP technique to distinguish among three clades of *Fusarium oxysporum*. FEMS Microbiol Lett 271:27-32.

Doyle JJ, Doyle JL, Hortorium LHB (1987) Isolation of plant DNA from fresh tissue. Focus 12:13-15.

Farr DF, Rossman AY. (2016). Fungal Databases, Systematic Mycology and Microbiology Laboratory, ARS, USDA. Disponível em: http://nt.ars-grin.gov/fungaldatabases. Acessado em 12 Jan 2016.

Lee Y, Yong C, Byung M (2000) PCR-RFLP and Sequence Analysis of the rDNA ITS Region in the *Fusarium* spp. J Microbiol 38:66-73.

Marques EK, Ikuta N, Lunge VR, Fonseca ASK (2002) Diagnóstico molecular e biotecnologia. *In*: Serafini, A.M., Barros, N.M., Azevedo, J.L. Biotecnologia: avanços na agricultura e na agropecuária, Caxias do Sul, 101-130.

O'Donnell K (1993) *Fusarium* and its near relatives. *In*: Reynolds, D.R., Taylor, J.W. The fungal holomorph: mitotic, meiotic and pleomorphic speciation in fungal systematic. Wallingford, CAB International, 225-233.

Rossman AY, Samuels GJ, Rogerson CT, Lowen R (1999) Genera of *Bionectriaceae*, *Hypocreaceae* and *Nectriaceae* (*Hypocreales*, Ascomycetes). Stud Mycol 42:134-137.

Tamura K, Stecher G, Peterson D, Filipski A, Kumar S (2013) MEGA6: Molecular Evolutionary Genetics Analysis Version 6.0. Mol. Biol. Evol. 30:2725-2729.

Watanabe M, Yonezawa T, Lee K, Kumagai S, Sugita H, Gotod K, Hara Y (2011a) Evaluation of genetic markers for identifying isolates of the species of the genus *Fusarium*. J Sci Food Agric 91:2500-2504.

Watanabe M, Yonezawa T, Lee K, Kumagai S, Sugita Y, Goto K, Hara Y (2011b) Molecular phylogeny of the higher and lower taxonomy of the *Fusarium* genus and differences in the evolutionary histories of multiple genes. BMC Evolutionary Biology 11:322.

White TJ, Bruns T, Lee S, Taylor J (1990) Amplification and direct sequencing of fungal ribosomal RNA genes for phylogenetics. *In*: PCR protocols: A guide to methods and application, Academic Press, 315-322.